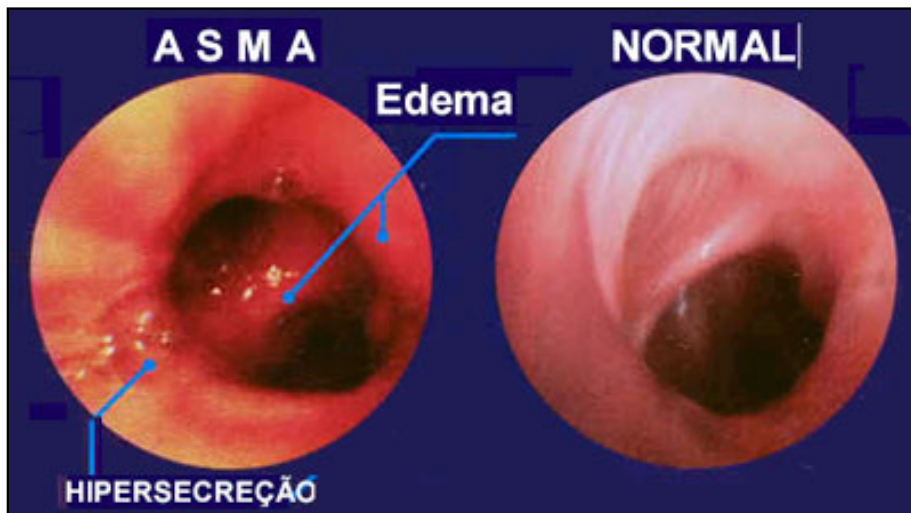




Asma Brônquica

Fisiopatologia da Asma



Como evidenciado no [estudo patológico da asma](#), a inflamação da mucosa brônquica ocasiona limitação ao fluxo aéreo devido ao aumento do fluxo sanguíneo brônquico, com vasodilatação, congestão e hiperpermeabilidade microvascular com edema e líquido intraluminal (**Figura 1**), tampões de muco e contração da musculatura lisa peribrônquica. Este conjunto determina redução do calibre das vias aéreas determinando aumento da resistência das vias aéreas (Rva) e consequente hiperinsuflação pulmonar com alterações na relação ventilação-perfusão.

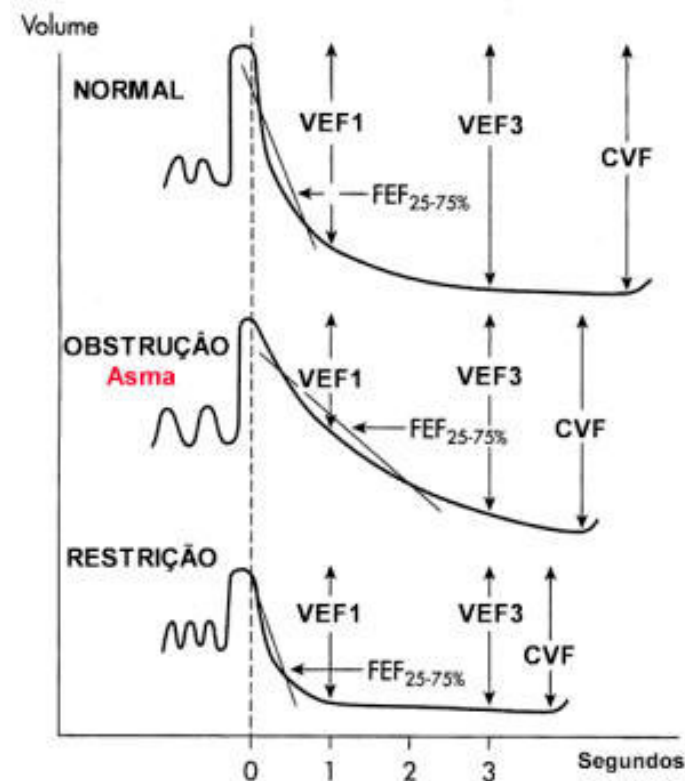
Os testes de função pulmonar auxiliam no diagnóstico e monitoramento de pacientes asmáticos. Praticamente todos os testes podem se alterar. Estes podem se apresentar normais nos assintomáticos fora de crise ou com os mais variados graus de obstrução em função do estágio da doença em que o paciente se encontra. As medidas mais comuns e fáceis de serem obtidas são aquelas através de manobra expiratória forçada: capacidade vital forçada (CVF), o volume expiratório no primeiro segundo (VEF₁), a relação VEF₁/CVF e o fluxo máximo-médio expiratório forçado da capacidade vital (FEF_{25-75%}) (Figura 2). A diferença entre a capacidade vital "lenta" (CV) e a capacidade vital forçada (CVF) é vista frequentemente em pacientes com obstrução brônquica, sendo um sinal de *air trapping*.

A redução do calibre e conseqüente aumento na resistência das vias aéreas determina diminuição de todos os fluxos expiratórios máximos, incluindo o pico de fluxo expiratório (PFE) que na asma aguda pode ser menor do que 150 a 100 l/min. Ocorrem ainda diminuição dos volumes expirados em função do tempo, oclusão prematura das vias aéreas, hiperinsuflação pulmonar, aumento do trabalho respiratório com mudanças na *performance* muscular e alterações na relação ventilação-perfusão com alteração nos gases sanguíneos.

A hiperinsuflação pulmonar é definida como um aumento da capacidade residual funcional (CRF) acima do valor teórico previsto. Sob o ponto de vista clínico, a modificação mais importante nos volumes pulmonares durante a crise de asma é o aumento da CRF, o que determina considerável mudança na mecânica dos músculos respiratórios, comprometendo a capacidade da "bomba" ventilatória em sustentar a respiração espontânea. Portanto, respirar com pulmões hiperinsuflados exige maior esforço e, assim, contribui para a sensação de dispneia.

O volume residual (VR) e a CRF aumentam à medida que a obstrução brônquica piora devido ao fenômeno de *air trapping* e compressão dinâmica das vias aéreas.

A capacidade pulmonar total (CPT) quase não se altera, salvo em vigência de obstrução muito grave, quando 50% dos pacientes apresentam a sua elevação. A oclusão das vias aéreas ocorrendo a volumes maiores do que o normal obviamente reduz a CV.¹⁻³ Todavia, a redução na CV não é proporcional à elevação no VR porque a CPT também aumenta,⁴ provavelmente em conseqüência da perda da força de recolhimento elástico pulmonar^{5,6} ou aumento na força muscular inspiratória^{7,8} ou ambas. Existem evidências de que a força de



recolhimento elástico dos pulmões está levemente reduzida na asma aguda, especialmente a volumes pulmonares próximos da CPT.⁹ Esta mudança na CPT é reversível com a resolução da asma.¹⁰

O volume expiratório forçado no primeiro segundo (VEF_1) encontra-se reduzido assim como a relação VEF_1/CVF , os fluxos expiratórios ($FEF_{25-75\%}$, $V_{m\acute{a}x50\%CVF}$, $V_{m\acute{a}x25\%CVF}$, e o PFE).

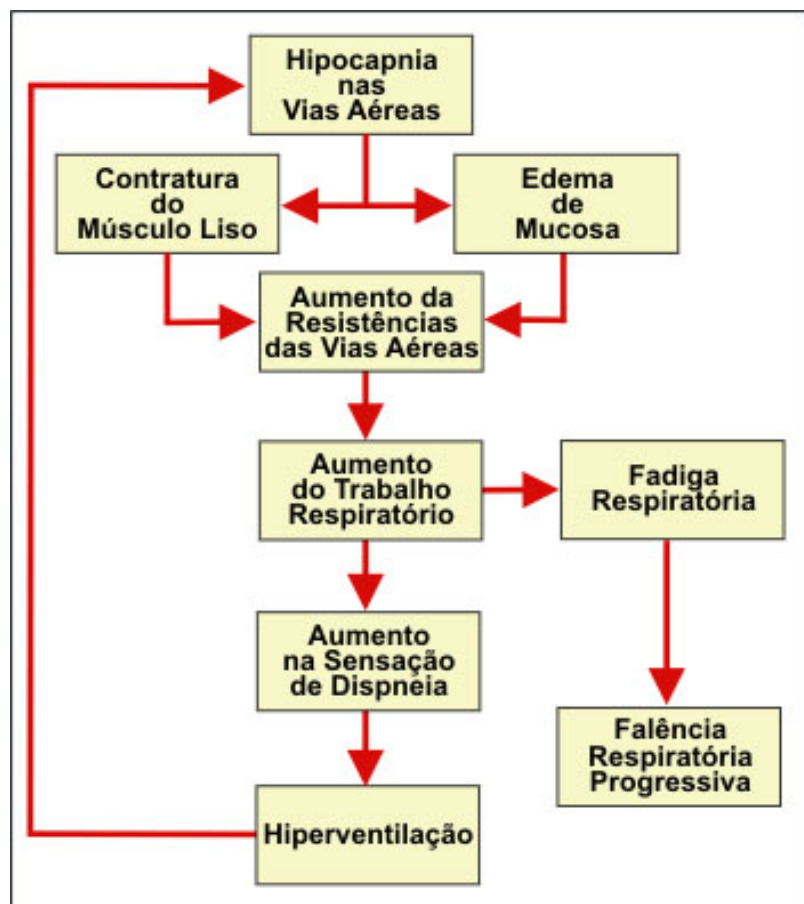
A reversibilidade da obstrução das vias aéreas pode ser avaliada através do teste de broncodilatação, medindo-se o VEF_1 antes e 10 a 15 minutos após a inalação de duas respirações profundas de broncodilatador de curta duração de ação (200-400 mcg). Arbitrariamente considera-se um aumento $\geq 12\%$ ou 200 ml no ΔVEF_1 como evidência de significativa reversibilidade. Na asma grave, entretanto, um aumento muito pequeno do VEF_1 é encontrado após o teste com broncodilatador, devendo-se salientar, por outro lado, que um aumento de 20% quando o VEF_1 é de apenas 0,5 l é frequentemente visto em obstruções brônquicas crônicas não-asmáticas. Nos pacientes sem resposta ao teste com broncodilatador, um curso de 2 a 3 semanas de corticoide oral pode se fazer necessário para demonstrar a reversibilidade.

A curva pressão-volume na asma tem forma semelhante à normal. Devido a hiperinsuflação está desviada para cima e devido à baixa pressão está desviada para a esquerda. A complacência dinâmica pulmonar está reduzida e torna-se frequência-dependente devido às desigualdades nas constantes de tempo nos pulmões, em decorrência da distribuição paralela heterogênea das vias aéreas estreitadas.⁹ A redução da complacência dinâmica aumenta o trabalho elástico da respiração.

A capacidade de difusão pelo monóxido de carbono (DLCO) é normal podendo estar aumentada devido à hiperinsuflação que determina aumento da área de superfície de membrana alveolar e ao aumento do volume sanguíneo capilar pulmonar decorrente do aumento da pressão negativa intratorácica que propicia maior número de hemácias na captação do CO e pelo aumento da perfusão dos ápices pulmonares devido ao aumento da pressão arterial pulmonar.

Devido à obstrução brônquica das pequenas vias aéreas periféricas, os alvéolos são mal ventilados, porém continuam a ser perfundidos. Na asma também ocorre disfunção do surfactante.^{11,12} O surfactante pode estar substituído por exsudato inflamatório ou muco, tornando as pequenas vias aéreas mais propensas à obstrução e fechamento. Se a estabilidade das pequenas vias aéreas se altera por aumento de secreções ou disfunção do surfactante, ocorre estreitamento das vias aéreas periféricas, sua oclusão, maiores volumes pulmonares e *air trapping*. Como consequência, ocorre aumento da diferença alveolar-arterial de oxigênio ($P[A-a]O_2$), aumento do espaço morto fisiológico (V_D/V_T), com queda da pressão parcial de oxigênio arterial (PaO_2) determinando hipoxemia. Esta hipoxemia leva a taquipneia e aumento da ventilação-minuto, com eliminação de CO_2 , determinando hipocapnia (invariavelmente encontrada em crises leves e moderadas, refletindo um aumento do *drive* respiratório) e alcalose respiratória, o achado mais comum na análise da gasometria do sangue arterial do asmático.¹³ O estímulo ou mecanismo determinante desta hiperventilação ainda não está bem caracterizado. Durante a crise de asma,

é possível que a ativação de receptores irritantes estimulem a ventilação, não podendo descartar-se também a ação de outros reflexos gerados nas vias aéreas, pulmões ou parede torácica.



Embora a hipercapnia constitua-se em um achado constante nas crises de asma, não está bem definida a importância de sua participação na fisiopatologia da doença. Há mais de quarenta anos¹⁴ formulou-se a hipótese de que a hipercapnia nas vias aéreas resultante da hiperventilação, poderia perpetuar o broncoespasmo através do aumento progressivo da resistência brônquica, decorrente de sua ação direta sobre a musculatura lisa e por aumento da permeabilidade da microvascularização brônquica.^{15,16}

Possíveis mecanismos para a indução de broncoconstrição pela hipercapnia podem decorrer de reflexos neurais, aumento do calibre vascular, liberação de mediadores ou através de um efeito direto sobre o músculo liso da via aérea. Um estudo de Lindman et al.¹⁷ propõe que a hipercapnia desempenhe um efeito direto nas células do músculo liso brônquico, possivelmente atuando na alcalose intracelular, na concentração do cálcio livre intracelular. Reynolds e McEvoy¹⁶ relataram que em pulmões de porquinhos-da-índia uma redução na PCO_2 alveolar produzia um aumento da resistência das vias aéreas pela indução de broncoespasmo e aumento da permeabilidade de microvasos brônquicos, e que este efeito era mediado pela liberação de taucicinininas de fibras nervosas C-aférentes. Todavia, o mecanismo da broncoconstrição ainda é incerto e pode estar relacionado ao grau de hipercapnia. Sterling¹⁸ concluiu que quando a concentração de CO_2 expirado

($ETCO_2$) era < 30 mm Hg, a broncoconstrição era mediada via sistema nervoso autônomo (através do nervo vago) porém, quando a $ETCO_2$ era < 15 mm Hg ocorria mediação por efeito direto nas células do músculo liso.

Como consequência da hipercapnia, ocorre um aumento no trabalho respiratório, o que pode potencializar a sensação de dispnéia, conduzindo a adicional hiperventilação, progressiva hipercapnia e aumento do broncoespasmo, culminando com fadiga e falência respiratórias (**Figura 3**).¹⁹ Esta teoria continua a ser discutida na atualidade, com confirmação através de vários estudos experimentais.^{15,16,19-21} Van den Elshout et al.²⁰ estudaram 30 pacientes com asma e 15 voluntários sadios e encontraram no grupo com asma menor $ETCO_2$ quando comparado ao grupo controle (36 mm Hg vs 40 mm Hg) e demonstraram experimentalmente em asmáticos, que a hipercapnia pode contribuir para o aumento da resistência das vias aéreas, mesmo quando se previnem as perdas de água e calor.

A hipoxemia correlaciona-se com o grau de obstrução brônquica, que não é homogênea nos pulmões. Existem vias aéreas completamente ocluídas, outras severamente estreitadas e outras completamente pÉrvias. Como consequência, resultam alterações na relação ventilação/perfusão, com aumento da diferença alveolar-arterial de oxigênio ($P[A-a]O_2$), determinando PaO_2 de 60-69 mmHg (8.0-9,2 kPa). Quando a PaO_2 é < 60 mmHg, geralmente o VEF_1 é menor que 1,0 litro. McFadden e Lyons¹³ avaliaram 101 pacientes, encontrando valores de VEF_1 de 59%, 39% e 18% dos valores teóricos previstos quando de PaO_2 médias de 83, 71 e 63 mmHg, respectivamente. Hipercapnia e acidose respiratória, com ou sem acidose metabólica (lática), ocorrem em estágios muito avançados, quando de obstrução muito severa com alterações nas trocas gasosas (**Figura 4**). Quando existe acidose metabólica com elevado *anion gap*, o lactato plasmático encontra-se elevado, devido à maior oxidação da glicose no músculo, em função do grande aumento do trabalho respiratório e fadiga muscular, além da redução do *clearance* do lactato e o efeito das catecolaminas (**Tabela 1**).²²⁻²⁵ A relação entre $PaCO_2$ e VEF_1 não é linear. Quando o VEF_1 é maior que 750 ml ou 30% do previsto, raramente ocorre hipercapnia.



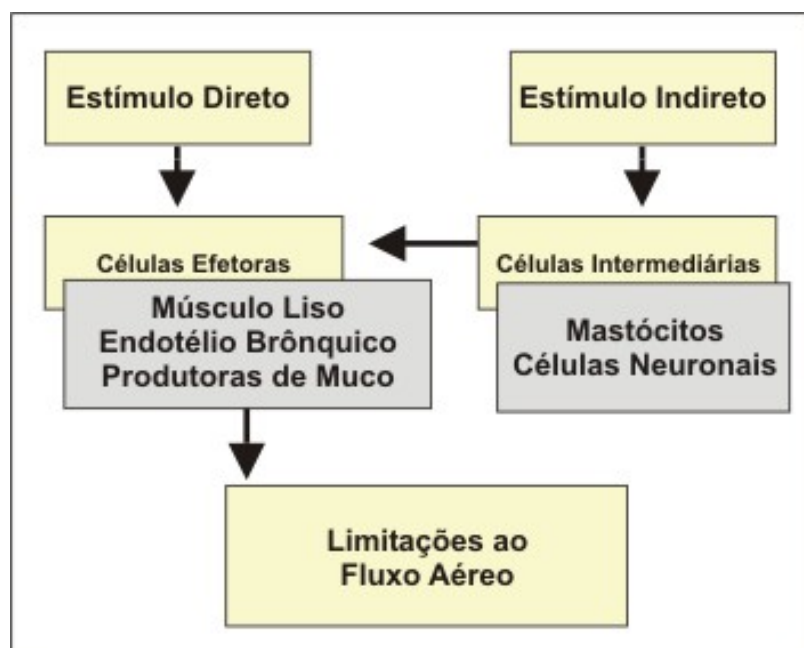
Tabela 1 — Alterações na Gasometria Arterial na Asma, à Medida que a Obstrução Brônquica se Agrava

| Gasometria Arterial na Crise Aguda de Asma | | | | |
|--|--------|---------|--------|-----------------------|
| Gravidade | PO_2 | PCO_2 | pH | Excesso Base |
| Leve | ↓ | ↓ | ↑ | Alcalose Respiratória |
| Moderada | ↓↓ | Normal | Normal | Normal |
| Grave | ↓↓↓ | ↑ | ↓ | Alcalose Mista |

Durante longo tempo, a asma foi considerada uma doença obstrutiva reversível, pois a maioria dos pacientes consegue reversão completa dos parâmetros anormais da espirometria, como, por exemplo, o VEF_1 . No entanto, muitos asmáticos, crianças e adultos, demonstram obstrução residual, que é encontrada inclusive em assintomáticos. As alterações brônquicas estruturais decorrentes do remodelamento das vias aéreas, são as responsáveis pela obstrução persistente, hiper-responsividade brônquica (HRB) e acelerado declínio na função pulmonar. Este declínio é heterogêneo, podendo ser mínimo em uns e extenso em outros, similar ao que acontece nos pacientes com doença pulmonar obstrutiva crônica. Durante a vida adulta a asma está associada a um aumento na taxa de declínio do VEF_1 , quando comparado a indivíduos normais, sendo que em fumantes de meia-idade e em idosos, é virtualmente impossível distinguir a bronquite crônica da asma, utilizando-se somente o VEF_1 , significando que o dano e reparação resultam em alterações estruturais, muitas vezes permanentes, nas vias aéreas. Muitos asmáticos também são tabagistas, e esta combinação determina um impacto significativo na

queda progressiva do VEF_1 .

Nos pacientes em que estão presentes os sintomas de asma, embora com espirometria normal, ocorrendo dúvida quanto ao diagnóstico, pode-se lançar mão dos chamados testes de provocação. Estes testes permitem avaliar a hiper-responsividade brônquica (HRB) que pode ser definida como um aumento anormal na limitação ao fluxo aéreo, após a exposição a um determinado estímulo. Como a resposta das vias aéreas aos diferentes estímulos é heterogênea, estes foram divididos em estímulos diretos e indiretos.



O estímulo direto determina limitação ao fluxo aéreo agindo sobre as chamadas células efectoras, como as células da musculatura lisa, as células do endotélio vascular brônquico e as células produtoras de muco. O estímulo indireto limita o fluxo aéreo por ação em células outras que não as efectoras. Estas células denominadas intermediárias, como por exemplo certas células inflamatórias como os mastócitos, células epiteliais e as células neuronais, determinam alterações na parede brônquica antes de interagirem com as células efectoras (**Figura 5**).

De acordo com o mecanismo dominante na limitação ao fluxo aéreo em resposta a um determinado estímulo, podemos utilizar agentes parassimpaticomiméticos, antagonistas de receptores β_2 , mediadores, poluentes atmosféricos e agentes físicos/osmóticos (**Tabela 2**) como testes de provocação brônquica para avaliar a HRB, classificando-os em estímulos diretos ou indiretos, embora alguns estímulos possam apresentar as duas características.

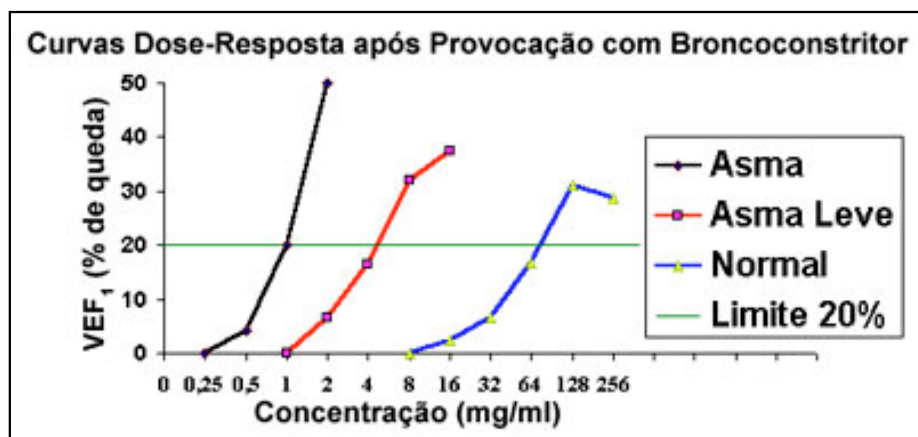
Tabela 2 — Estímulos para medir a hiper-responsividade brônquica

| Estimulo Indireto | Estimulo Direto |
|--|---|
| Estimulo Físico | |
| Aerossóis não isotônicos, hipertônicos, hipotônicos, água destilada, manitol | Agonistas colinérgicos: acetilcolina, metacolina, carbacol |
| Exercício | Histamina |
| Hiperpneia voluntária eucápnica com ar seco | Prostaglandina D ₂ |
| Estimulo Farmacológico | Leucotrienos C ₄ , D ₄ , E ₄ |
| Adenosina 3'5' monofosfato | |
| Bradicinina | |
| Taquicinina (NKA, SP) | |
| Metabissulfito, SO ₂ | |
| Propranolol | |
| Endotoxina | |
| Fator de Ativação Plaquetária | |
| Ozônio | |
| Agentes Seletivos | |
| Aspirina e anti-inflamatórios | |
| Alérgenos | |

A utilização da acetilcolina e da histamina como instrumento para o diagnóstico e avaliação de pacientes com asma recebeu o apoio de Tiffeneau,²⁶ na década de 1950.

Em pacientes que apresentam sintomas de asma com provas de função pulmonar normais os testes de broncoprovocação com histamina, exercício ou metacolina (b-metil homólogo da acetilcolina) são úteis para avaliar a hiper-responsividade das vias aéreas e confirmar ou afastar o diagnóstico de asma brônquica. Estas medidas são muito sensíveis porém, pouco específicas para o diagnóstico da asma. Isto significa que enquanto um teste negativo pode ser utilizado para excluir um diagnóstico de asma, um teste positivo nem sempre significa que o paciente tem asma. São padronizados, os testes de inalação são dependentes de dose-resposta, sendo a provocação efetuada pela inalação seriada de concentrações ascendentes da droga ([↔ Técnica de administração do teste](#)). As doses são cuidadosamente estipuladas e a resposta avaliada através da queda do VEF₁, cinco minutos após a inalação. O teste é considerado positivo quando ocorre uma queda no VEF₁ de 20% ou mais, quando comparado ao valor controle basal, após inalação de solução de cloreto de sódio. A quantidade de estímulo necessária para determinar a queda do VEF₁ recebe a denominação de dose provocativa 20% (DP₂₀). O teste da metacolina avalia a responsividade da musculatura lisa das vias aéreas, todavia, os mecanismos pelos quais a responsividade à metacolina aumenta ou diminui são ainda pouco conhecidos. Uma DP₂₀ < 8 mg/ml indica hiper-responsividade brônquica. A metacolina é mais utilizada do que a histamina devido à baixa incidência de efeitos colaterais e por demonstrar melhor reprodutibilidade.

O teste de provocação pela metacolina apresenta alta sensibilidade para identificar pacientes com asma, porém deve ser ressaltado que a HRB pode ocorrer em outras condições como na fibrose cística, traqueobronquite viral, na DPOC, na atopia sem asma, em fumantes, na insuficiência cardíaca e naqueles com função pulmonar no limite inferior ao normal. Mesmo os pacientes com rinite que não apresentam sintomas torácicos podem ter o teste de provocação positivo. A ausência de HRB após o teste de provocação com a metacolina expressa uma forte evidência contra o diagnóstico de asma.



limitada por um *plateau* similar ao dos indivíduos normais. Na asma moderada ou severa, a dose limiar tende a ser baixa, porém o broncoespasmo continua a aumentar com o aumento das doses, com pequeno efeito *plateau* (**Figura 6**).

Além da metacolina e histamina outros testes que utilizam estímulos diretos são utilizados como o manitol, o carbacol, a PGD₂ e os leucotrienos C₄, D₄, E₄.

A inalação de ar frio com alta ventilação-minuto, mantendo-se a PaCO₂ constante (hiperpnéia isocápnica), é um teste de provocação (indireto) capaz de induzir broncoconstrição transitória em pacientes cujo diagnóstico de asma é incerto.

Ar frio, exercício, hiperventilação e poeiras inertes são estimulantes comuns da hiper-responsividade brônquica em asmáticos. Estes estímulos provocam um efeito indireto através de vias neural e humoral. Em geral, o estímulo indireto é mais específico para o diagnóstico da asma, enquanto que o estímulo direto usado no teste de broncoprovocação química é mais sensível.

A água destilada veiculada através de inalação por nebulizador ultrassônico determina apenas tosse em indivíduos normais. Em asmáticos determina tosse e broncoconstrição. A maioria dos asmáticos apresenta broncoconstrição após a inalação de < 2 ml de água destilada. O

grau de responsividade brônquica é similar à resposta ao exercício e à hiperpneia eucápnica. Um período refratário ocorre após a nebulização ultrassônica em cerca de ~50% dos pacientes.

O dióxido de enxofre inalado (SO₂) tem sido utilizado como teste útil para discriminar os pacientes com asma daqueles com limitação crônica do fluxo aéreo e dos normais. Todos os asmáticos parecem responder a este estímulo, embora a resposta não seja cumulativa, como os testes com histamina e metacolina. Mais recentemente, outro teste utilizando agente estimulante indireto, a inalação da adenosina 3' 5' monofosfato (AMP), tem sido utilizado como teste de provocação, estimulando a liberação de histamina pelos mastócitos, provavelmente por estimulação do receptor A_{2B}, determinando a mobilização de reservas de cálcio intracelular. É altamente sensível e específico para a asma, distinguindo asmáticos de portadores de doença pulmonar obstrutiva crônica (DPOC).

A bradicinina causa contração das vias aéreas pela estimulação de receptores B₂. A bradicinina é metabolizada por várias peroxidases, sendo as mais importantes, a carboxipeptidase N (quinase I), ACE e a NEP. O efeito broncoconstritor da bradicinina é em parte mediado via nervos vagais colinérgicos.

A broncoconstrição induzida pelo propranolol é geralmente menos tolerada pelos pacientes do que a induzida pela metacolina, histamina e adenosina. Em função deste fato e por apresentar reversão mais difícil através de inalação com β₂-agonistas, sua utilização como teste de provocação foi abandonada.

Ao contrário dos agentes não-seletivos, os estímulos seletivos provocam broncoconstrição apenas em certos asmáticos. Estas respostas podem ser imunologicamente mediadas ou não-imunológicas. Estímulos comuns não-imunológicos incluem os anti-inflamatórios não-hormonais, a [aspirina](#), os alimentos e os [aditivos alimentares](#) (p.ex. os sulfitos).

A execução do teste de broncoprovocação deve levar em conta o risco de broncoconstrição imposto ao paciente. Existem contra-indicações relativas e absolutas para o teste, listadas na **Tabela 3**.

Tabela 3 — Contraindicações para os testes de broncoprovocação

| |
|---|
| Absolutas |
| Severa limitação ao fluxo aéreo (VEF1 < 50% do teórico ou < 1,0 L) |
| Infarto do miocárdio ou AVC nos últimos 3 meses |
| Hipertensão arterial não-controlada (P. sistólica > 200, P. diastólica > 100) |
| Aneurisma da aorta |
| Relativas |
| Moderada limitação ao fluxo aéreo (VEF1 < 60% do teórico ou 1,5 L) |
| Incapacidade de executar uma espirometria aceitável |
| Uso de inibidores da colinesterase para miastenia gravis |
| Guidelines for methacholine and exercise challenge testing - 1999 - American Thoracic Society. Am J Respir Crit Care Med 2000;161:309-329. |

Para o diagnóstico e monitoramento da asma em termos práticos, utilizam-se pequenos aparelhos, que medem o pico de fluxo expiratório (PFE) (**Tabela 4**).

Tabela 4 — Diagnóstico da Asma Através da Medida do PFE

| |
|---|
| PFE aumenta > 15% 15-20 minutos após a inalação de broncodilatador beta-agonista de curta ação: p.ex salbutamol, fenoterol |
| PFE varia > 20% entre a medida matinal ao acordar e a medida efetuada 12 h após, em pacientes que fazem uso de broncodilatador, ou > 10% naqueles que não utilizam broncodilatador |
| O PFE diminui > 15% após 6 minutos de corrida ou exercício |

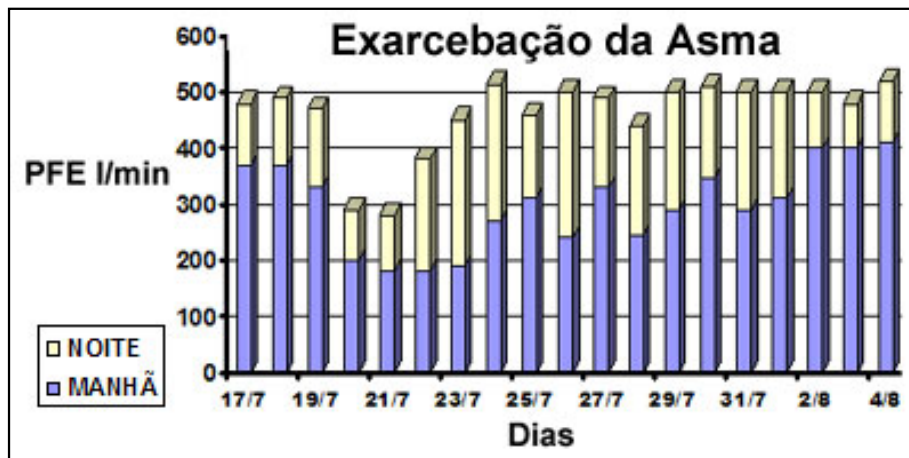
A variabilidade diurna do PFE tem sido um método clínico aceitável no controle da asma e avaliação da asma ocupacional. A variabilidade diurna normal no PFE em indivíduos não-asmáticos é de 10% ou menos, aumentando consideravelmente em

pacientes com hiper-responsividade brônquica e asma grave. O PFE correlaciona-se bem com o VEF_1 ,²⁷ porém não de forma uniforme. O VEF_1 reflete alterações em grandes e médias vias aéreas, enquanto que o PFE registra somente mudanças em grandes brônquios.

O PFE não substitui o VEF_1 no diagnóstico inicial da asma, porém constitui-se em útil alternativa à espirometria, na monitorização da limitação ao fluxo aéreo e progressão da obstrução.

Em indivíduos normais o PFE é determinado pelo tamanho dos pulmões, pela elasticidade pulmonar, pelas dimensões e complacência das vias aéreas intratorácicas centrais, e pela força e velocidade de contração dos músculos expiratórios (principalmente abdominais). A resistência friccional das vias aéreas e particularmente as das pequenas vias aéreas, têm apenas pequena contribuição.

Vários estudos clínicos demonstram que alguns pacientes com asma não são capazes de perceber o agravamento de sua obstrução brônquica, ao contrário daqueles que percebem pequenas mudanças. Cerca de 15% dos pacientes asmáticos não notam quando o seu VEF_1 é menor que 50% do teórico previsto, sendo que não existe nenhum procedimento clínico que ajude o médico a distinguir este grupo de pacientes. Estes pacientes devem ser acompanhados através da monitorização regular do PFE. Beneficiam-se também com este procedimento os pacientes que apresentam excessivas variações diurnas no



PFE, quando a incidência de morte súbita é elevada, detectando-se os pacientes com alto risco de ataques de asma quase-fatal ou fatal. O PFE é utilizado também para orientar os pacientes quanto a utilização e doses de medicamentos, favorece o controle da doença e reduz a sua morbidade.

O PFE é medido em aparelhos portáteis, baratos, sendo ideal para o acompanhamento domiciliar e ocupacional (Figura 7). O paciente deve ser bem instruído quanto à forma da realização das medidas. É um exame que

demandam cooperação, dependendo muito do esforço muscular desenvolvido na expiração forçada. Devem ser efetuadas três medidas da expiração forçada (intervalos de um a dois minutos) que devem ser iniciadas sempre imediatamente após a inspiração pulmonar máxima, considerando-se o maior resultado obtido na série.

A utilização do PFE apresenta certas limitações como:

1. Ser esforço-dependente
2. Não revelar a obstrução de pequenas vias aéreas
3. Ser difícil detectar o mau funcionamento do aparelho
4. Não substituir a espirometria para o diagnóstico inicial da asma
5. Não apresentar nenhuma contribuição na asma leve
6. Uma medida mal realizada pode propiciar erros na medicação
7. Uma má avaliação pelo paciente pode retardar a procura de cuidados médicos
8. Poder contribuir para a não aderência ao tratamento
9. A possibilidade de contaminação do aparelho por fungos
10. A utilidade da variabilidade do PFE como teste diagnóstico é limitada pela baixa sensibilidade

Para o cálculo da variabilidade diurna, o paciente deve medir o PFE imediatamente ao acordar, antes da utilização de qualquer broncodilatador, e à noite, após broncodilatador. Uma variabilidade maior que 20% em adultos e 30% em crianças é indicativa de asma.

$$\text{Variabilidade diária} = \frac{\text{PFE}_{\text{noite}} - \text{PFE}_{\text{matinal}} \times 100}{0.5 \times (\text{PFE}_{\text{noite}} + \text{PFE}_{\text{matinal}})}$$

O PFE é importante em pacientes que são incapazes de perceber o agravamento da obstrução, ao contrário daqueles que percebem pequenas mudanças. O PFE é capaz de detectar uma crise em sua fase inicial, algumas horas antes do aparecimento dos sintomas, pois quando detectamos sibilância à ausculta, o PFE já caiu 20 a 25%. No entanto, um PFE < 50% do teórico (ou do melhor resultado do próprio paciente) representa severa obstrução. Todavia, para um paciente em que o melhor PFE é de 200 l/min, uma queda para 120 l/min (60% de seu melhor resultado) pode significar obstrução muito severa, com potencial risco de vida. Devem ser efetuadas quatro medidas diárias, distribuídas desde o despertar até a hora de deitar. Se acordar de madrugada ou apresentar sintomas durante o dia, novas medidas são efetuadas.²⁸

»Técnica Correta para medir o Pico de Fluxo Expiratório (PFE) - Figura 8



Tabelas com Valores de Referência para PFE em função do Sexo, Idade e Altura.

Tabela 5 – PFE: Valores de Referência para o Sexo Masculino - Idade (anos)/Altura (cm) - Limite Inferior da Normalidade em litros/min

| | 5 | 8 | 11 | 15 | 20 | 25 | 30 | 35 | 40 | 45 | 50 | 55 | 60 | 65 | 70 | 75 | 80 | 85 |
|------------|----|----|----|----|----|----|----|----|----|----|----|----|----|----|----|----|----|----|
| 100 | 24 | 24 | 24 | | | | | | | | | | | | | | | |
| 105 | 51 | 51 | 51 | | | | | | | | | | | | | | | |

| | | | | | | | | | | | | | | | | | | |
|------------|-----|-----|-----|-----|-----|-----|-----|-----|-----|-----|-----|-----|-----|-----|-----|-----|-----|-----|
| 110 | 77 | 77 | 77 | | | | | | | | | | | | | | | |
| 115 | 104 | 104 | 104 | | | | | | | | | | | | | | | |
| 120 | 130 | 130 | 130 | | | | | | | | | | | | | | | |
| 125 | 156 | 156 | 156 | | | | | | | | | | | | | | | |
| 130 | 183 | 183 | 183 | | | | | | | | | | | | | | | |
| 135 | 209 | 209 | 209 | | | | | | | | | | | | | | | |
| 140 | 236 | 236 | 236 | 414 | 456 | 481 | 494 | 499 | 497 | 491 | 480 | 467 | 452 | 436 | 418 | 400 | 381 | 362 |
| 145 | 262 | 262 | 262 | 423 | 466 | 491 | 504 | 509 | 508 | 501 | 491 | 477 | 462 | 445 | 427 | 408 | 389 | 370 |
| 150 | 289 | 289 | 289 | 432 | 475 | 501 | 514 | 519 | 518 | 511 | 500 | 487 | 471 | 454 | 436 | 417 | 397 | 378 |
| 155 | 315 | 315 | 315 | 440 | 484 | 510 | 524 | 529 | 527 | 520 | 510 | 496 | 480 | 463 | 444 | 425 | 405 | 385 |
| 160 | 342 | 342 | 342 | 448 | 492 | 519 | 533 | 538 | 536 | 530 | 519 | 505 | 489 | 471 | 452 | 432 | 412 | 392 |
| 165 | 368 | 368 | 368 | 456 | 500 | 527 | 542 | 547 | 545 | 538 | 527 | 513 | 497 | 479 | 460 | 440 | 419 | 399 |
| 170 | 394 | 394 | 394 | 463 | 508 | 535 | 550 | 555 | 554 | 546 | 535 | 521 | 504 | 486 | 467 | 447 | 426 | 405 |
| 175 | 421 | 421 | 421 | 469 | 515 | 543 | 558 | 563 | 561 | 554 | 543 | 528 | 512 | 493 | 474 | 453 | 432 | 411 |
| 180 | | | | 476 | 522 | 551 | 566 | 571 | 569 | 562 | 550 | 536 | 519 | 500 | 480 | 459 | 438 | 417 |
| 185 | | | | 482 | 529 | 558 | 573 | 578 | 576 | 569 | 557 | 543 | 525 | 506 | 486 | 465 | 444 | 422 |
| 190 | | | | 488 | 536 | 564 | 580 | 585 | 583 | 576 | 564 | 549 | 532 | 513 | 492 | 471 | 450 | 428 |

Valores referentes ao Limite Inferior da Normalidade dos estudos de:

Crianças: Godfrey S et al Bri J Dis Chest 1970; 64:15.

Adultos: Gregg I, Nunn AJ. BMJ 1989; 298:1068.

Limite de 90% de confiança.

Tabela 6 – PFE: Valores de Referência para o Sexo Feminino - Idade (anos)/Altura (cm) -Limite Inferior da Normalidade em litros/min

| | 5 | 8 | 11 | 15 | 20 | 25 | 30 | 35 | 40 | 45 | 50 | 55 | 60 | 65 | 70 | 75 | 80 | 85 |
|------------|-----|-----|-----|-----|-----|-----|-----|-----|-----|-----|-----|-----|-----|-----|-----|-----|-----|-----|
| 100 | 39 | 39 | 39 | | | | | | | | | | | | | | | |
| 105 | 65 | 65 | 65 | | | | | | | | | | | | | | | |
| 110 | 92 | 92 | 92 | | | | | | | | | | | | | | | |
| 115 | 118 | 118 | 118 | | | | | | | | | | | | | | | |
| 120 | 145 | 145 | 145 | | | | | | | | | | | | | | | |
| 125 | 174 | 171 | 171 | | | | | | | | | | | | | | | |
| 130 | 197 | 197 | 197 | | | | | | | | | | | | | | | |
| 135 | 224 | 224 | 224 | | | | | | | | | | | | | | | |
| 140 | 250 | 250 | 250 | 348 | 369 | 380 | 384 | 383 | 379 | 371 | 362 | 352 | 340 | 328 | 316 | 302 | 289 | 276 |
| 145 | 276 | 276 | 276 | 355 | 376 | 387 | 391 | 390 | 385 | 378 | 369 | 358 | 347 | 334 | 321 | 308 | 294 | 281 |
| 150 | 303 | 303 | 303 | 360 | 382 | 393 | 397 | 396 | 391 | 384 | 375 | 364 | 352 | 340 | 327 | 313 | 300 | 286 |
| 155 | 329 | 329 | 329 | 366 | 388 | 399 | 403 | 402 | 397 | 390 | 381 | 370 | 358 | 315 | 332 | 318 | 304 | 290 |
| 160 | 356 | 356 | 356 | 371 | 393 | 405 | 409 | 408 | 403 | 396 | 386 | 375 | 363 | 350 | 337 | 323 | 309 | 295 |
| 165 | 382 | 382 | 382 | 376 | 398 | 410 | 414 | 413 | 408 | 401 | 391 | 380 | 368 | 355 | 341 | 327 | 313 | 299 |
| 170 | 408 | 408 | 408 | 381 | 403 | 415 | 419 | 418 | 413 | 406 | 396 | 385 | 372 | 359 | 346 | 331 | 317 | 303 |
| 175 | 435 | 435 | 435 | 385 | 408 | 420 | 424 | 423 | 418 | 411 | 401 | 389 | 377 | 364 | 350 | 335 | 321 | 307 |
| 180 | | | | 390 | 413 | 425 | 429 | 428 | 423 | 415 | 405 | 394 | 381 | 368 | 354 | 339 | 325 | 310 |
| 185 | | | | 394 | 417 | 429 | 433 | 432 | 427 | 419 | 409 | 398 | 385 | 372 | 358 | 343 | 328 | 314 |
| 190 | | | | 398 | 421 | 433 | 438 | 436 | 432 | 424 | 414 | 402 | 389 | 375 | 361 | 347 | 332 | 317 |

Valores referentes ao Limite Inferior da Normalidade dos estudos de:

Crianças: *Godfrey S et al Bri J Dis Chest 1970; 64:15.*

Adultos: *Gregg I, Nunn AJ. BMJ 1989; 298:1068.*

Limite de 90% de confiança.

Avanços nos métodos de calibração para o fluxo, usando sistemas de bomba computadorizados, permitiram a obtenção de perfis de fluxo muito precisos. Estes sistemas demonstraram em 1991 que a calibração original dos medidores de fluxo, atualmente utilizados, era inexata com com uma leitura superestimada na faixa média de medida.

A partir de 1º de setembro de 2004 novos aparelhos para medir o pico de fluxo foram introduzidos na Europa, substituindo o tradicional modelo de Wright, disponível para prescrição no Reino Unido, de acordo com as normas do *National Health Service* (NHS), desde 1990. Os medidores de fluxo são fabricados no novo padrão Europeu, o EN 13826,²⁹ baseado na medida do fluxo absoluto que obtém medidas semelhantes àquelas por espirometria convencional (pneumotacografia), quando se consegue uma avaliação mais precisa de fluxos em todas as faixas de leitura (baixa, média e alta).

É por demais conhecido que as imperfeições das medidas do aparelho de Wright não são sistemáticas, variando através das várias faixas de leitura. Por não ser linear, fornece leituras na faixa média com valores superiores a 30% do real. Esta escala foi utilizada para o diagnóstico e manejo da asma no Reino Unido e na Europa desde 1959. A variabilidade do PFE é uma das características da asma. Como o o PFE do paciente varia durante o dia nas várias medidas efetuadas, a não linearidade pode distorcer o verdadeiro valor da variabilidade diurna. Um estudo avaliando um grupo de pacientes com asma moderada e severa constatou que a variabilidade e a gravidade da doença foram subestimadas em 30%.³⁰ Este falso resultado influenciou na terapêutica pois cerca de 20% dos doentes não elevaram, como deveriam fazer, as doses do corticoide. Estes valores inexatos repercutem mais nos indivíduos com pouca percepção dos sintomas e consequente agravamento de sua doença, geralmente aqueles com asma mais severa, impedindo um diagnóstico mais precoce do deterioramento de sua condição clínica.

Vários gases, como o NO (óxido nítrico), o CO e hidrocarbonetos têm sido medidos no ar exalado de adultos e crianças. Mais recentemente, marcadores não voláteis e mediadores (peróxido de hidrogênio, leucotrienos, prostaglandinas, citocinas, produtos de peroxidação de lipídios...) têm sido detectados no ar exalado e condensado. Estes marcadores exalados têm sido utilizados para monitorar a inflamação das vias aéreas e o estresse oxidativo na asma e na DPOC, assim como no acompanhamento da resposta terapêutica durante o tratamento com corticoides, modificadores de leucotrienos etc.

Em 1993, a asma foi a primeira doença a ser associada à níveis elevados de NO exalado, e desde então centenas de

estudos foram efetuados tentando discernir o possível papel do NO na monitorização da doença, bem como o seu papel como molécula efetora.

O NO é um radical livre gasoso, com uma meia-vida extremamente curta, de alguns segundos. Na asma o NO é o teste de respiração exalada mais utilizado na prática clínica. Trata-se de um teste útil, prático, confortável, sensível, reprodutível, não-invasivo, e que apresenta forte correlação com a inflamação das vias aéreas.



A medida é efetuada através de aparelhos que utilizam analisador de gás NO (**Figura 9**) por quimiluminescência, de alta sensibilidade e especificidade, capaz de detectar moléculas de NO em muito baixas concentrações. O teste é efetuado em respiração única: a) na posição sentada o paciente esvazia os pulmões; b) através da peça bucal o paciente inala ar isento de NO, eliminando a possibilidade de qualquer contaminação através do ar ambiente, até o nível da CPT; c) passa então a exalar lentamente através da peça bucal, mantendo fluxo constante (50ml/s), quando ao final efetua-se a leitura. Para evitar a contaminação com o NO proveniente dos seios nasais, o paciente exala contra uma pressão positiva, para "fechar" o palato mole.

Os corticoides não têm efeito no NO exalado em indivíduos normais,³¹ porém reduzem a FE_{NO} em asmáticos, principalmente naqueles com doença severa.^{32,33} Na asma atópica, níveis elevados exalados (bucal e nasal) de NO correlacionam-se de forma significativa com os testes cutâneos, a IgE total e a eosinofilia sanguínea. A FE_{NO} é extremamente sensível ao tratamento com corticoides, sendo que a redução no NO pode ser detectada após 6 h de uma única dose de corticoide nebulizado, ou dentro de 2-3 dias após o tratamento com corticoide inalado.³⁴⁻³⁶ Níveis persistentemente elevados da FE_{NO} em pacientes asmáticos tratados com corticoides refletem ou a pouca aderência do paciente ao tratamento ou um tratamento não eficaz.^{37,38}

Recentemente o monóxido de carbono passou a ser utilizado também como um marcador da inflamação em pacientes com asma. Zayasu et al.³⁹ efetuaram estudo em asmáticos sintomáticos não-fumantes e sem tratamento, antes e após a terapia com corticoide inalado. Um analisador de CO, com detector infravermelho (Bedfont EC50) com resolução de mais ou menos 1 ppm, foi utilizado para medir o gás exalado após 20 segundos de apnéia. Valores elevados foram encontrados em

asmáticos não-tratados, com redução após terapêutica esteróide por inalação. Existe uma boa correlação entre a mudança no CO exalado (eCO) com as mudanças no percentual de eosinófilos no escarro sugerindo uma ligação entre um marcador já aceito da inflamação com e CO exalado. O CO eleva-se também durante as exacerbações da asma, retornando aos valores basais com o tratamento.⁴⁰

Este teste apresenta limitações, como por exemplo, a interferência que ocorre quando de infecções respiratórias superiores, que se caracterizam por elevar o eCO.⁴¹

Outra técnica fisiológica é a oscilometria de impulso (IOS), um método não invasivo de avaliação da mecânica ventilatória descrito por Dubois e al. em 1956,⁴² que avalia as mudanças na resistência das vias aéreas durante a respiração corrente, cuja técnica foi aperfeiçoada por investigadores como Peslin e Duvivier (Nancy)⁴³ e Farré (Barcelona)⁴⁴, sendo que em 1990 a técnica foi normatizada em um encontro em Antuérpia. Os impulsos geram oscilações de fluxo que se sobrepõem à ventilação espontânea (volume corrente) percorrendo toda a via aérea, permitindo analisar as respectivas respostas de variação de pressão e débito a estes impulsos.

Ao contrário das técnicas que usam os músculos respiratórios como fonte geradora de força, a oscilometria de impulso o faz através de um gerador externo de impulsos – um alto-falante para produzir oscilações de pressão dentro da via aérea, resultando na medição de mudanças de pressão e fluxos e cálculo de resistência, reatância e ressonância.

Na prática o doente respira ar ambiente através de um pneumotacógrafo acoplado ao alto-falante. Existem dois transdutores, um de débito total e outro de pressão bucal total conectados ao pneumotacógrafo que permitem o traçado em ventilação espontânea (0,2 a 5 Hz) e posterior curva débito/volume, e que se irão sobrepor os sinais do impulso gerados separados da respiração espontânea por filtro de sinal (**Figura 10**).

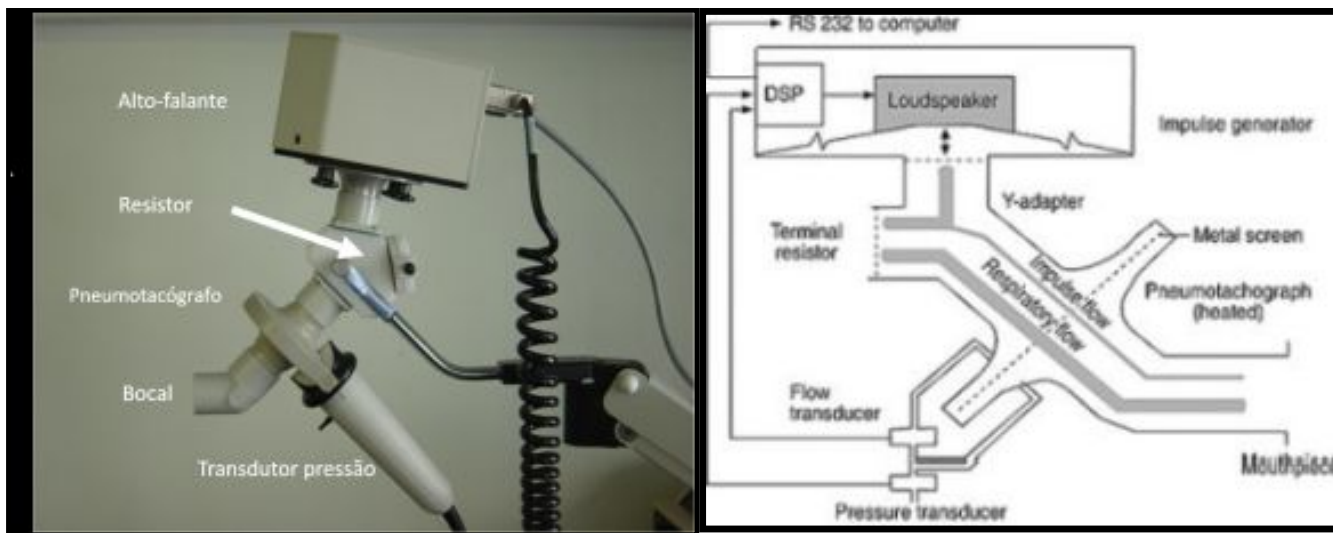


Figura 10 - Instrumentação básica utilizada na técnica da oscilometria de impulso. O diagrama foi retirado da referência 45.

Desta forma obtém-se uma resistência respiratória complexa em função das várias frequências que se aplicam durante a respiração espontânea, que se denomina impedância respiratória (Z) e tem duas constituintes, a resistência (R) e a Reatância (X). A resistência à frequência de 5 Hertz (R_5) corresponde à resistência total das vias aéreas e a reatância à mesma frequência de som à capacitância periférica (X_5). Esta é representativa da resistência das vias aéreas mais periféricas (<2 mm), que não podem ser avaliadas por métodos convencionais visto que, não existindo praticamente débito aéreo nesta zona, também não são mensuráveis resistências. Com significado clínico tem-se ainda a Resistência à frequência de 20 Hertz (R_{20}) que corresponde à resistência central das vias aéreas.

Para se ter um exame válido tem de existir regularidade do registro do volume em função do tempo; o gráfico impedância/volume sem artefatos; a coerência (Co) a 5 Hertz acima de 0,7 e a 20 Hertz acima de 0,9.

A execução técnica é simples, demandando pouca cooperação, uma vez que não é necessária a realização de uma manobra específica pelo doente, permitindo ser realizada em crianças (> 2 anos), idosos, acamados, e com déficit cognitivo. O traçado oscilométrico se obtém com colaboração mínima do doente que se traduz numa respiração espontânea calma e estável. O registo inicia-se quando o volume corrente está estabilizado e termina, em regra, após 30 segundos de bom traçado. A zona de bom traçado pode ser identificada e depois selecionada, sendo os valores dos parâmetros automaticamente calculados.

A oscilometria é especialmente útil na avaliação do paciente pediátrico e adultos fragilizados, naquelas crianças asmáticas incapazes de realizar manobras de espirometria satisfatórias. Pacientes com asma apresentam elevação de R5 enquanto a reatância costuma ser mais negativa. A R20 encontra-se aumentada na exacerbação da asma/broncoespasmo. A redução de 30 a 35% em R5 é considerada resposta significativa após broncodilatador. Sua utilização na prática clínica ainda é limitada pois depende de valores de referência ainda não disponíveis

[Informações Médicas](#)
[Home](#)

[Anterior << Características Patológicas](#)

[Próximo >> Diagnóstico da Asma](#)

Referências

01. Macklem PT. Mechanical factors determining maximum bronchoconstriction. *Eur Respir J* 1989; 2 (Suppl):516.
02. Macklem PT. The clinical relevance of respiratory muscle research. *Am Rev Respir Dis* 1986; 134:812.
03. Macklem PT. The importance of excessive bronchoconstriction in asthma. *Giorn It Allergol Immunol Clin* 1992; 2:275.
04. Blackie SP, Al Majed S, Staples CA, et al. Changes in total lung capacity during acute spontaneous asthma. *Am Rev Respir Dis* 1990; 142:79.
05. Woolcock AJ, Read J. The static elastance properties of the lungs in asthma. *Am Rev Respir Dis* 1968; 98:788.
06. Hillman DR, Finucane KE. The effect of hyperinflation on the lung elasticity in healthy subjects. *Respir Physiol* 1983; 54:295.
07. Muller N, Bryan AC, Zamel N. Tonic inspiratory muscle activity as a cause of hyperinflation in histamine-induced asthma. *J Appl Physiol* 1980; 49:869.
08. Muller N, Bryan AC, Zamel N. Tonic inspiratory muscle activity as a cause of hyperinflation in asthma. *J Appl Physiol* 1981; 50:279.
09. Ward ME, Roussos C, Macklem PT. Respiratory mechanics, in Murray JF, Nadel JA (eds): *Textbook of Respiratory Medicine*, 2d ed. Philadelphia, Saunders, 1994, pp 90-138.
10. Gold WM, Kaufman HS, Nadel JA. Elastic recoil of the lungs in chronic asthmatic patients before and after therapy. *J Appl Physiol* 1967; 23:433.
11. Hohlfeld JM, Ahlf K, Enhorning G, et al. Dysfunction of pulmonary surfactant in asthmatics after segmental allergen challenge. *Am J Respir Crit Care Med* 1999; 159:1803.
12. Van der Graaf EA, Jansen HM, Lutter R et al. Surfactant protein A in bronchoalveolar lavage fluid. *J Lab Clin Med* 1992; 120:252.

13. McFadden ER Jr, Lyons HA. Arterial-blood gas tension in asthma. *N Engl J Med* 1968; 278:1027.
14. Hypoxemia and hypocapnia in asthma. *N Engl J Med* 1968; 248:1068.
15. Jamison JP, Glover PJ, Wallace WE. Comparison of the effects of inhaled ipratropium bromide and salbutamol on the bronchoconstrictor response to hypocapnic hyperventilation in normal subjects. *Thorax* 1987; 42:809.
16. Reynolds AM, McEvoy RD. Tachykinins mediate hypocapnia-induced bronchoconstriction in guinea pigs. *J Appl Physiol* 1989; 67:2454.
17. Lindeman KS, Croxton TL, Lande B, et al. Hypocapnia induced contraction of porcine airway smooth muscle. *Eur Respir J* 1998; 12:1046-1052.
18. Sterling GM. The mechanism of bronchoconstriction due to hypocapnia in man. *Clin Sci* 1968; 34:277-285.
19. Laffey JG, Kavamagh BP. Hypocapnia. *N Engl J Med* 2002; 347:43.
20. van den Elshout FJ, van Herwaarden CL, Folgering HT. Effects of hypercapnia and hypocapnia on respiratory resistance in normal and asthmatic subject. *Thorax* 1991; 46:28.
21. O'Cain CF, Hensley MJ, McFadden ER Jr, Ingram RH Jr. Pattern and mechanism of airway response to hypocapnia in normal subjects. *J Appl Physiol* 1979; 47:8.
22. Molfino NA, Nannini LJ, Martelli AN, Slutsky AS. Respiratory arrest in near-fatal asthma. *N Engl J Med* 1991; 324:2855.
23. Wasserfallen JB, Schaller MD, Feihl F, Perret CH. Sudden asphyxic asthma: a distinct entity? *Am Rev Respir Dis* 1990; 142:108.
24. Mountain RD, Heffner JE, Brackett NC, Shann SA. Acid-base disturbances in acute asthma. *Chest* 1990; 98:651.
25. Palmer K, Diamant ML. Effect of salbutamol on spirometry and blood-gas tensions in bronchial asthma. *Br Med J* 1969; 1:31.
26. Tiffeneau R: Mesure de la sensibilité pulmonaire à l'acétylcoline et à l'histamine. In: *Examen pulmonaire de l'asthmatique: Deductions, diagnostiques, pronostiques, et thérapeutiques*, vol 55. Paris, France Libraries de L'Académie de Médecine, 1997; p75.
27. Paggiaro PL, Moscato G, Giannini D, Di Franco A, Gherson G. Relationship between peak expiratory flow (PEF) and FV₁. *Eur Respir J* 1997; 10:Suppl.24 11s.
28. Jansen JM, Plotkowski LM, Bohadana AB. Contrôle domiciliaire de "peak-flow". *JBM* 1982; 42:122.
29. Miller MR. Peak expiratory flow meter scale changes: implications for patients and health professionals. *Airways J* 2004; 2:80.
30. Milles JF, Tunnicliffe W, Cayton RM, Ayres JG, Miller MR. Potential effects of correction of inaccuracies of the mini-Wright peak expiratory flow meter on the use of an asthma self-management plan. *Thorax* 1995; 51:403.

31. Yates DH, Kharitonov AS, Robbins RA, Thomas OS, Barnes PJ. Effect of a nitric oxide synthase inhibitor and a glucocorticosteroid on exhaled nitric oxide. *Am J Respir Crit Care Med* 1995; 152:892.
32. Baraldi E, Dario C, Ongaro R, Scollo M, Azzolin NM, Panza N, Paganini N, Zacchelo F. Exhaled nitric oxide concentrations during treatment of wheezing exacerbation in infants and Young children. *Am J Respir Crit Care Med* 1999; 159:1284.
33. Baraldi E, Azzolin NM, Zanconato S, Dario C, Zacchello F. Corticosteroids decrease exhaled nitric oxide in children with acute asthma. *J Pediatr* 1997; 131:381.
34. Kharitonov SA, Yates DH, Barnes PJ. Inhaled glucocorticosteroids decrease nitric oxide in exhaled air of asthmatics patients. *Am J Respir Crit Care Med* 1996; 153:454.
35. Kharitonov SA, Yates DH, Chung KF, Barnes PJ. Changes in the dose of inhaled steroid affect exhaled nitric oxide levels in asthmatic patients. *Eur Respir J* 1996; 9:196.
36. Kharitonov SA, Donnelly LE, Corradi M, Montuschi P, Barnes PJ. Dose-dependent onset and duration of action of 100/400 mcg budesonide on exhaled nitric oxide and related changes in other potential markers of airway inflammation in mild asthma. *Am J Respir Crit Care Med* 1996 2000; 161:A186.
37. Artlich A, Bush T, Lewandowski K, Jonas S Gortner L, Falke KJ. Childhood asthma: exhaled nitric oxide in relation to clinical symptoms. *Eur Respir J* 1999; 13:1396.
38. Stirling RG, Kharitonov SA, Campbell D, Robinson DS, Durham B, Chung KF, Barnes PJ. For the Asthma and Allergy Group. Increase in exhaled nitric oxide levels in patients with difficult asthma and correlation with symptoms and disease severity despite treatment with oral and inhaled corticosteroids. *Thorax* 1998; 53:1030.
39. Zayasu K, Sekizawa K, Okinaga S et al. Increased carbon monoxide in exhaled air of asthmatic patients. *Am J Respir Crit Care Med* 1997; 156:1140.
40. Uasuf CG, Jatakanon A, James A et al. Exhaled carbon monoxide in childhood asthma. *J Pediatr* 1999; 135:569.
41. Yamaya M, Sekizawa K, Ishizuka S et al. Increased carbon monoxide in exhaled air of subjects with upper respiratory tract infections. *Am J Respir Crit Care Med* 1998; 158:311.
42. DuBois AB, Brody AW, Lewis DH, Burgess BF. Oscillation mechanics of lungs and chest in man. *J Appl Physiol* 1956; 8: 587-94.
43. Peslin R, Fredberg JJ. Oscillation mechanics of the respiratory system. In: Macklem PT, Mead J eds. *Handbook of Physiology: The Respiratory System*. Bethesda, America, Physiological Society, 1986; pp. 145-178.
44. Farré R, Peslin R, Oostven E, Suki B, Duvivier C, Navajas D. Human respiratory impedance from 8 to 256 Hz corrected for upper airway shunt. *J Appl Physiol* 1989; 67:1973-1981.
45. Smith HJ, Reinhold P, Goldman MD. Forced oscillation technique and impulse oscillometry. In: Gosselin R, and Stam H eds. *Lung Function Testing*. Eur Respir Mon, 2005, 31, 72–105

Última Atualização: - 28/11/2019

[Informações Médicas](#)

[Home](#)

Design by Walter
Serralheiro

[Anterior << Características Patológicas](#)

[Próximo >> Diagnóstico da Asma](#)